

ΑΡΙΣΤΟΤΕΛΕΙΟ ΠΑΝΕΠΙΣΤΗΜΙΟ ΘΕΣΣΑΛΟΝΙΚΗΣ - ΠΟΛΥΤΕΧΝΙΚΗ ΣΧΟΛΗ
ΤΜΗΜΑ ΠΟΛΙΤΙΚΩΝ ΜΗΧΑΝΙΚΩΝ - ΤΟΜΕΑΣ ΓΕΩΤΕΧΝΙΚΗΣ ΜΗΧΑΝΙΚΗΣ
ARISTOTLE UNIVERSITY OF THESSALONIKI - SCHOOL OF ENGINEERING
DEPT. OF CIVIL ENGINEERING - GEOTECHNICAL ENGINEERING DIVISION

540 06 ΘΕΣΣΑΛΟΝΙΚΗ . TAX. ΘΥΡ. 713-1 . ΤΗΛ. (031)
540 06 THESSALONIKI - GREECE . P. O. BOX 713-1 . TEL. (031) . TELEX 41 2181 AUTH GR.

Προς τον αποστόλο

ΟΑΣΠ

Μεσογείων 262

Χαλάνδρι

1174

30-6-87

Θεσσαλονίκη, Ιούνιος 1987

**ΜΙΚΡΟΖΩΝΙΚΗ ΜΕΛΕΤΗ ΚΑΛΑΜΑΤΑΣ
ΔΥΝΑΜΙΚΗ ΑΠΟΚΡΙΣΗ ΤΟΥ ΕΔΑΦΟΥΣ**

ΦΑΣΗ Β : ΕΚΘΕΣΗ ΠΡΟΟΔΟΥ ΕΡΓΑΣΙΩΝ

Η παρούσα έκθεση αφορά την δεύτερη φάση της σχετικής μελέτης. Η συγκεκριμένη εργασία που αφορά την δυναμική απόκριση του εδάφους, στοχεύει κατά την φάση αυτή κύρια στην αξιολόγηση της μεθοδολογίας υπολογισμού, σε σύγκριση με τις παρατηρησεις από τον πρόσφατο σεισμό. Παράλληλα βέβαια γίνονται και μερικοί πρώτοι υπολογισμοί της δυναμικής απόκρισης των εδαφών.

Τα αποτελέσματα της έκθεσης στηρίζονται :

- α. στα διαθέσιμα γεωτεχνικά στοιχεία της πρώτης φάσης (γεωτρήσεις N (BRT) και CPT)
- β. σε έξι προφίλ δοκιμών cross-hole
- γ. στις διαθέσιμες καταγραφές του κυρίως σεισμού στην Νομαρχία
- δ. στην έκτιμη της σεισμικής επικινδυνότητας και στην προκαταρκτική έκτιμη των συνθετικών επιταχυνσιογραφημάτων της πρώτης φάσης του Εργαστηρίου Γεωφυσικής του Πανεπιστημίου Αθηνών.

ε. στις γενικές προκαταρκτικές εκτιμήσεις-διαπιστώσεις σχετικά με την κατανομή των ζημιών στην πόλη της Καλαμάτας.

Πρόκειται για μελέτες κλασσικής μονοδιάστατης εδαφικής απόκρισης με την χρήση του κώδικα SHAKE.

Χρησιμοποιήθηκαν δύο "σεισμοί σχεδιασμού" στο Βραχώδες υπόστρωμα ("θέσεις" Βράχος στην μάργα σε βάθος όπου κατ' εκτίμηση έχουμε $v_s \geq 750$ m/sec) και συγκεκριμένα :

- * Το επιταχυνσιογράφημα που προκύπτει από την αντιστροφή της καταγραφής WE της 13.9.86 στην Νομαρχία ($a_{max} = 0,27112$ g) (σχ. 2α, β).
- * Το συνθετικό επιταχυνσιογράφημα που προτάθηκε για $M_w = 6,5$ από το Εργαστήριο Γεωφυσικής του Πανεπιστημίου Αθηνών (σχ. 3α, β).

Εξετάσθηκαν βασικά οι περιοχές που πραγματοποιήθηκαν δοκιμές Cross-hole και συγκεκριμένα για τον "σεισμό" αντιστροφής της Νομαρχίας οι θέσεις :

- * Κολυμβητήριο (σχ. 4α, β, γ , σχ. 5α, β , σχ. 6α, β)
- * Παλαιολόγου και Μαυρομιχάλη (σχ. 7α, β, γ και σχ. 8α, β)
- * Στρατόπεδο (σχ. 9α, β, γ και 10α, β)
- * Υπαπαντή (σχ. 11α, β, γ και 12α, β)
- * Ναυαρίνου και Ηρώων (σχ. 13) (αφορά το σύνολο της ανατολικής παραλιακής ζώνης).

Με το συνθετικό επιταχυνσιογράφημα εξετάσθηκαν οι θέσεις :

- * Λιμεναρχείο (σχ. 14α, β)
- * Νομαρχία (σχ. 15α έως 15κ).

Τα κύρια συμπεράσματα που προκύπτουν με βάση την μελέτη αυτή συνοψίζονται στα παρακάτω :

- * Στην Παληά Πόλη και γενικά στην Βορειοανατολική περιοχή της Καλαμάτας (Υπαπαντή, Στρατόπεδο και Μαυρομιχάλη-Παλαιολόγου) αναπτύχθηκαν κατά τον κυρίως σεισμό εξαιρετικά μεγάλες μέγιστες επιταχύνσεις (0,70g ÷ 1,20g). Οι "πραγματικές" μέγιστες θα πρέπει να κυμαίνονται από 0,5g έως 0,85g (~70%).

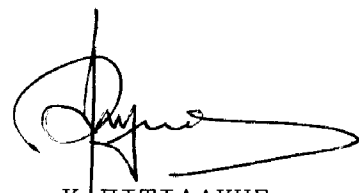
Παράλληλα η δεσπόζουσα περιοδος της κίνησης στην επιφάνεια T_p , και η θεμελιώδης περιοδος T_s της εδαφικής απόθεσης, σχεδόν ταυτίζονται ($\sim 0,30$ sec). Το γεγονός αυτό βρίσκεται σε συμφωνία με το ποσοστό και το είδος των ζημιών στην περιοχή.

- * Στην περιοχή του Κολυμβητηρίου οι μέγιστες επιταχύνσεις στην επιφάνεια του εδάφους είναι σαφώς μικρότερες από εκείνες την παληάς πόλης. Επίσης παρατηρείται κάποια ουσιαστική απόκλιση των τιμών T_s εδαφικής απόθεσης και δόνησης T_p . Η εκτίμηση του G_{max} αποκλειστικά από το N_{sppt} , οδηγεί σε σημαντικές διαφοροποιήσεις σε σχέση με την εκτίμηση του G_{max} από το ν. των cross-hole δοκιμών (σχ.5 και 6). Το γεγονός αυτό πρέπει να ληφθεί σοβαρά υπ'όψη στην συνέχεια της μελέτης, καθώς βέβαια οι δοκιμές cross-hole δεν μπορεί παρά να είναι περιορισμένου αριθμού. Δημιουργούνται επίσης από τις διαφορές αυτές και κάποια ερωτηματικά σχετικά με τον σεισμό σχεδιασμού (αντιστροφή Νομαρχίας). Συγκεκριμένα στην Νομαρχία δεν έχουν γίνει μέχρι την σύνταξη της έκθεσης αυτής δοκιμές cross-hole και κατά συνέπεια χρησιμοποιήθηκε αποκλειστικά το N_{sppt} .
- * Στην παραλιακή ζώνη έχουμε ακόμη μεγαλύτερη μείωση των μέγιστων επιταχύνσεων στην επιφάνεια.
- * Το συνθετικό επιταχυνσιογράφημα ($M_s=6,5$ από $R=10$ km) δημιουργεί ερωτηματικά γύρω από την αξιοπιστία του, ειδικά σε ότι αφορά τα φάσματα S_p και S_s .

Συμπερασματικά διαπιστώνουμε ότι για την επιτυχή και ουσιαστική ολοκλήρωση της μελέτης της εδαφικής απόκρισης πρέπει να δοθεί στην συνέχεια (κατά την τρίτη φάση και κατά την συμπληρωματική έρευνα) ιδιαίτερη έμφαση στα παρακάτω σημεία :

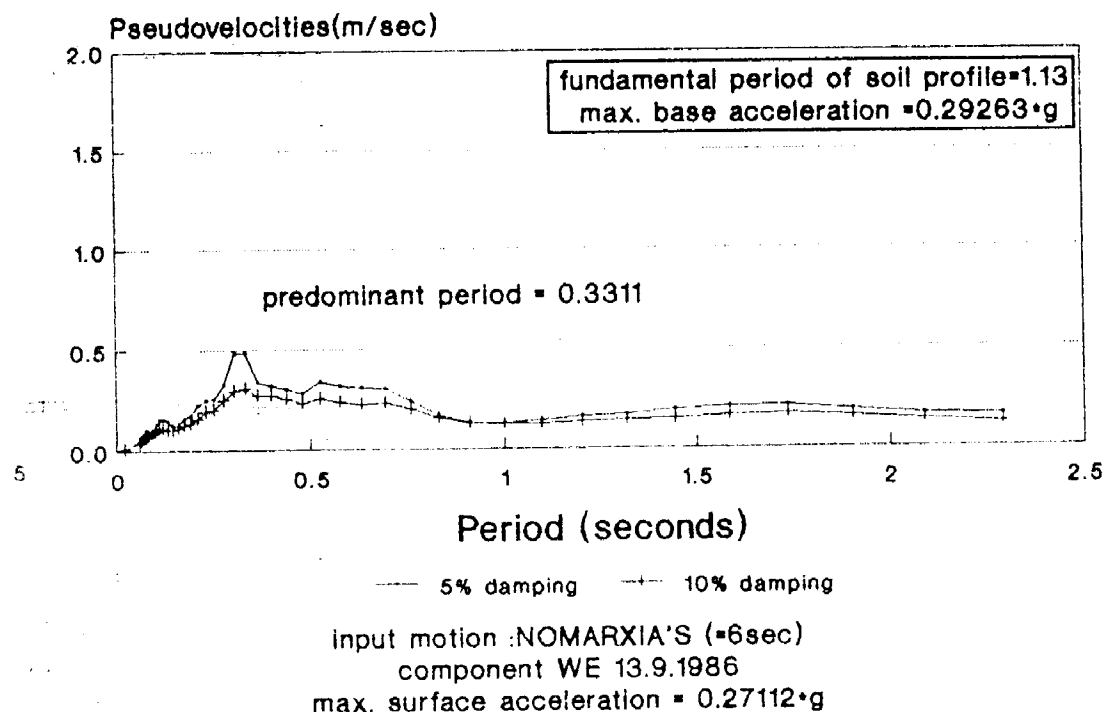
- ΔΧ 20/10/1987
- * Να πραγματοποιηθούν δοκιμές cross-hole στην Νομαρχία, στον ΟΤΕ (παληό και νέο) και στην περιοχή Νησάκι.
 - * Να γίνουν σε χαρακτηριστικούς εδαφικούς σχηματισμούς εργαστηριακές δοκιμές προσδιορισμού των δυναμικών χαρακτηριστικών των εδαφών.
 - * Να μελετηθεί το θέμα του "σεισμού σχεδιασμού", τόσο για την συγκεκριμένη σεισμική δράση, όσο και για την πιθανότερη αναμενόμενη.

* Η μονοδιάστατη ανάλυση της εδαφικής απόκρισης φαίνεται να δίνει λογικά αποτελέσματα. Εντούτοις για την εξαγωγή πλήρων συμπερασμάτων, και όχι μόνο για την συγκεκριμένη περίπτωση, κρίνεται απόλυτα απαραίτητη η συμπλήρωση της μελέτης της εδαφικής απόκρισης σε τρεις διαστάσεις, λαμβάνοντας υπ'όψη και τον μηχανισμό διάρρηξης.



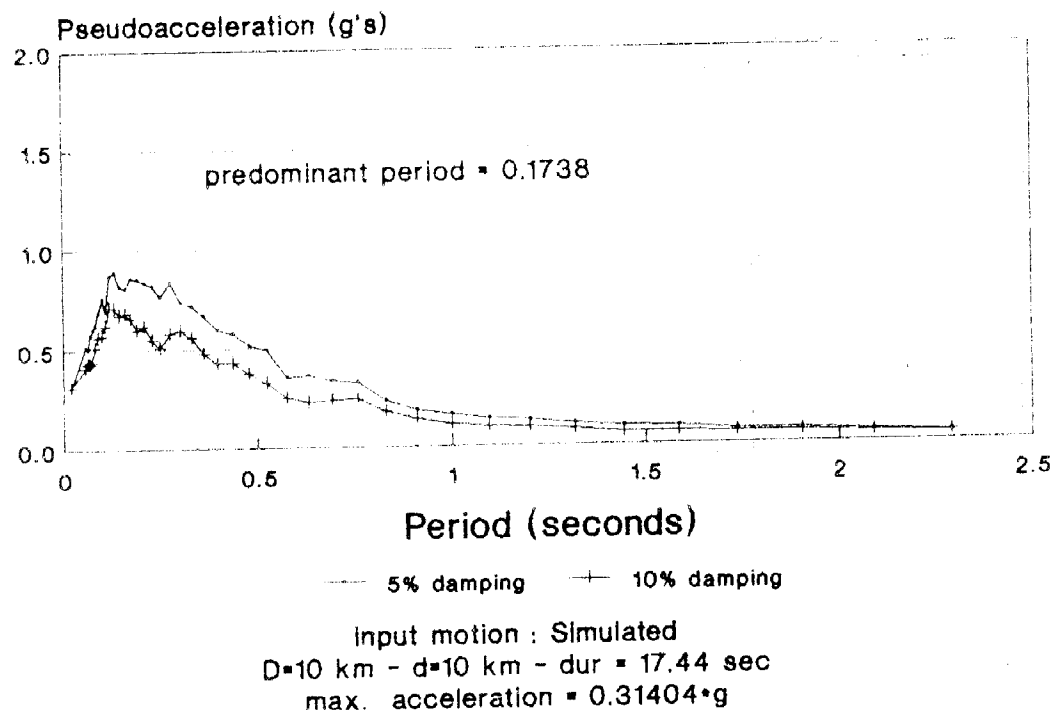
Κ. ΠΙΤΙΛΑΚΗΣ

spectra velocities
Kalamata's microzonation
 NOMARXIA's Reversion



$\sum x \cdot 2\beta$

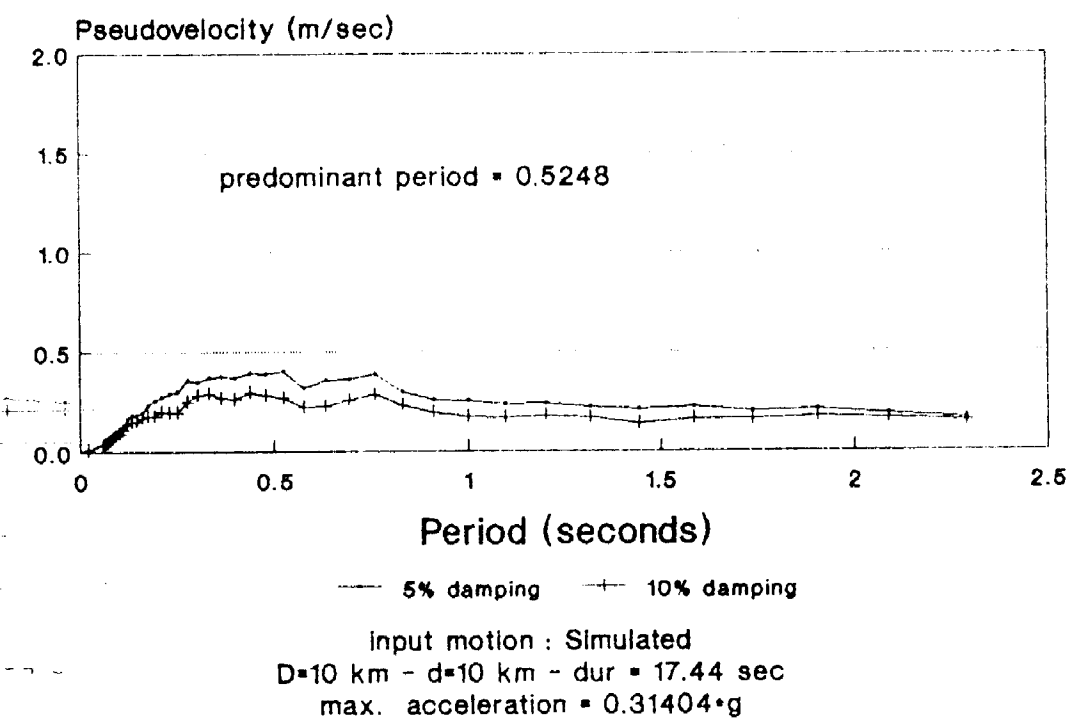
spectra accelerations
Kalamata's microzonation
Simulated earthquake



Ex. 3a

†

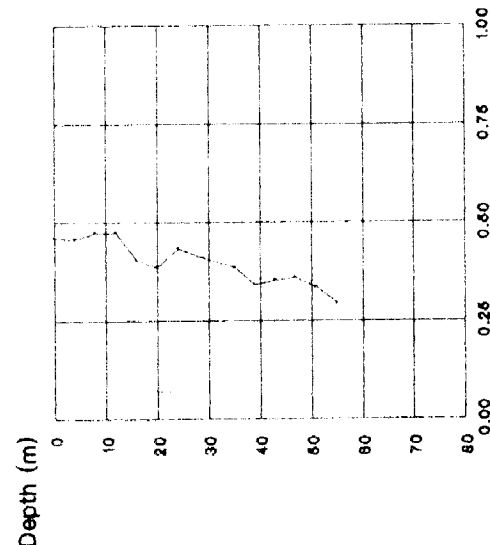
spectra velocities
Kalamata's microzonation
Simulated earthquake



$\Sigma x_3 \beta$

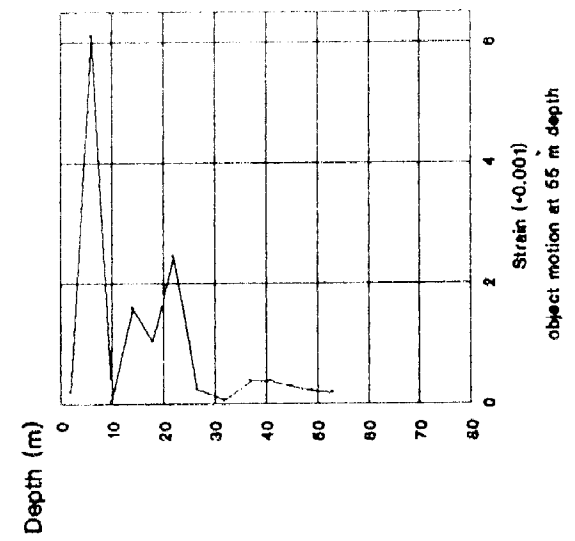
maximum accelerations

Kalamata's microzonation
profile : Kalambitiro (Cross-Hole)



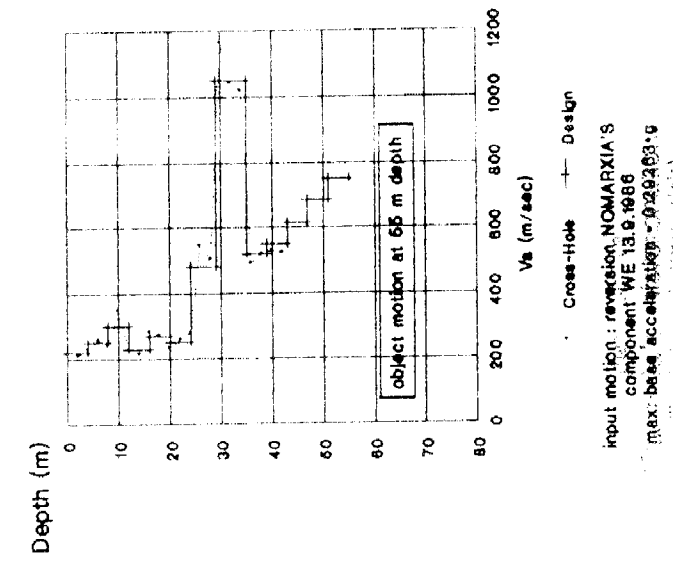
maximum strains

Kalamata's microzonation
profile : Kalambitiro (Cross-Hole)



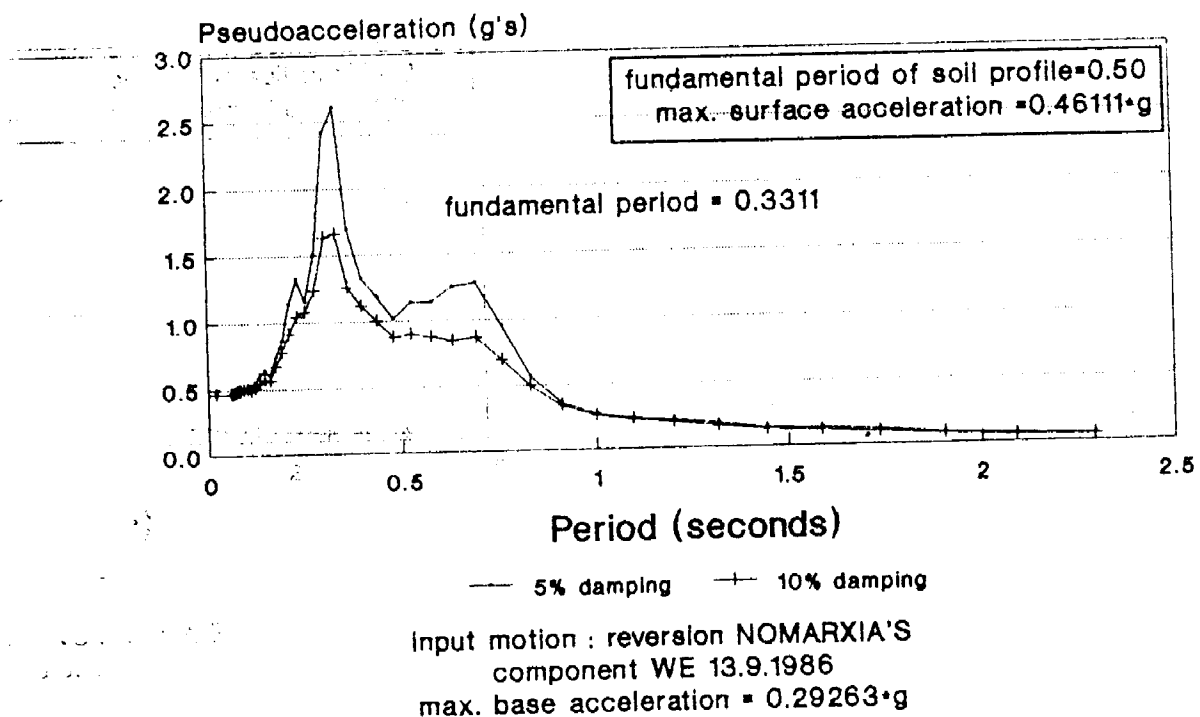
maximum Vs

Kalamata's microzonation
profile : Kalambitiro (Cross-Hole)



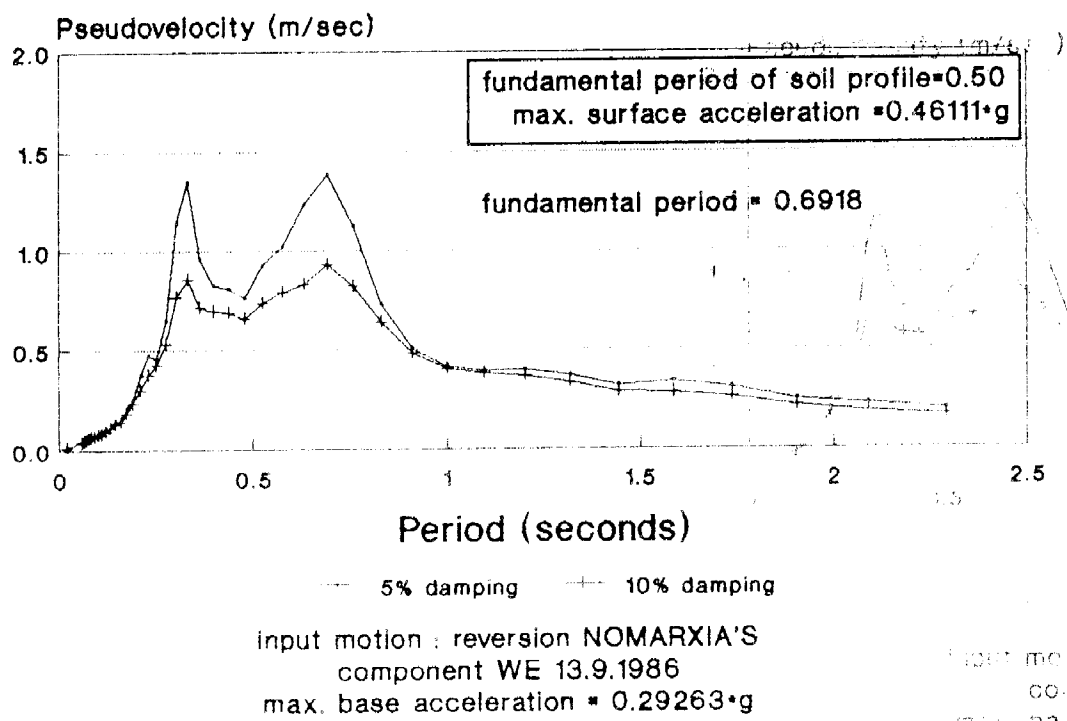
$\sum x, 4\alpha, \beta, \gamma$

spectra accelerations
Kalamata's microzonation
 profile : Kolimbitirlo (Cross-Hole)



$\Sigma x, 5\alpha$

spectra velocities
Kalamata's microzonation
profile : Kolimbitirio (Cross-Hole)



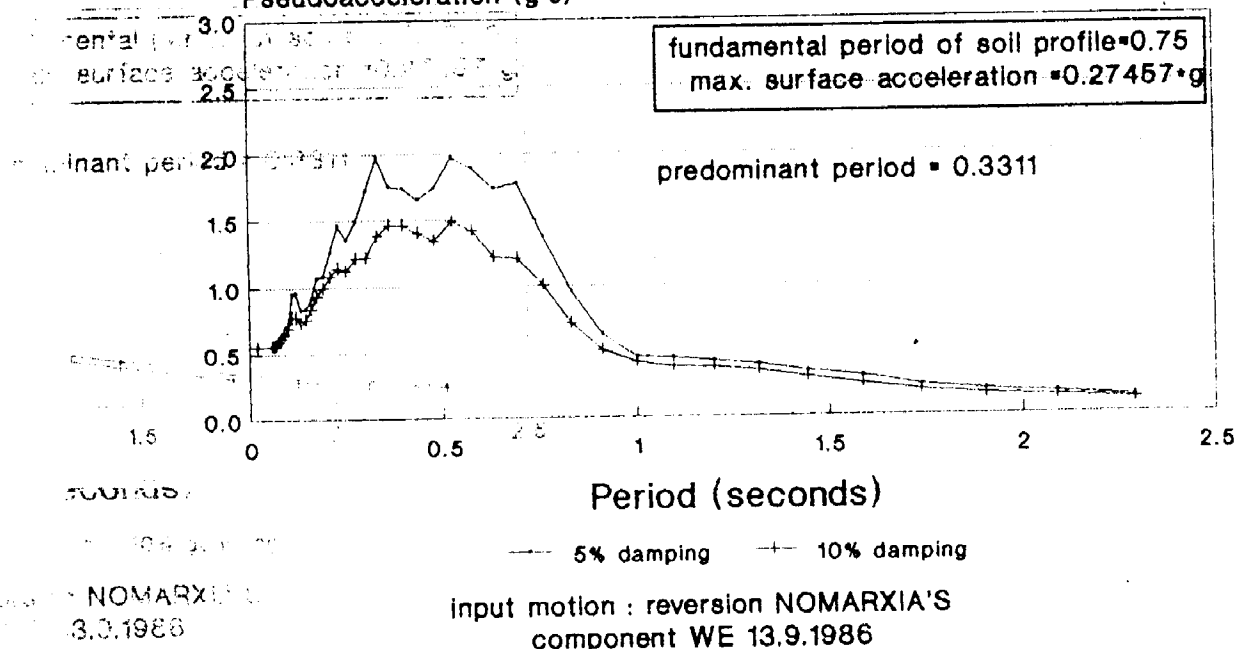
Σx. 5β

elerations

microzonation
ratio (N-SPT)

spectra accelerations
Kalamata's microzonation
profile : Kollimbitirlo (N-SPT)

Pseudoacceleration (g's)

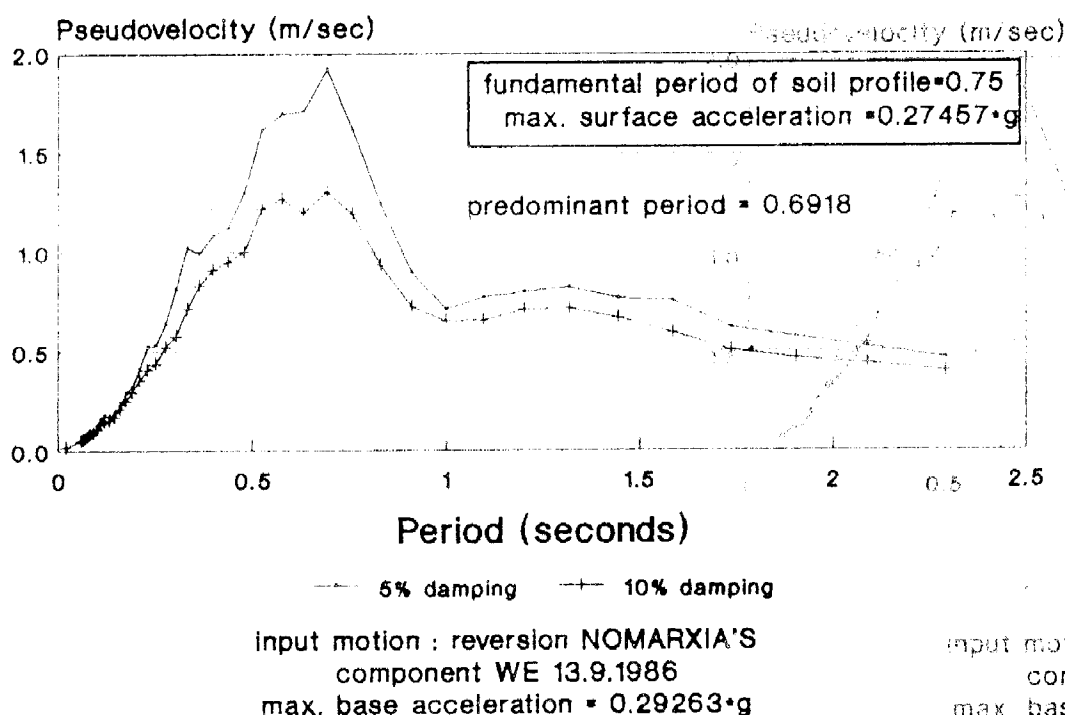


Σx_6a

spectra velocities

Kalamata's microzonation
profile : Kolimbitirio (N-SPT)

Kalamata
profile



$\Sigma x \cdot 6\beta$

$\sum x \cdot 6\beta$

$\Sigma x, \gamma, \beta, \delta$

input motion : reverberation NOMARIA'S
component WE 13.9.1988

max. base acceleration = 0.28263*g

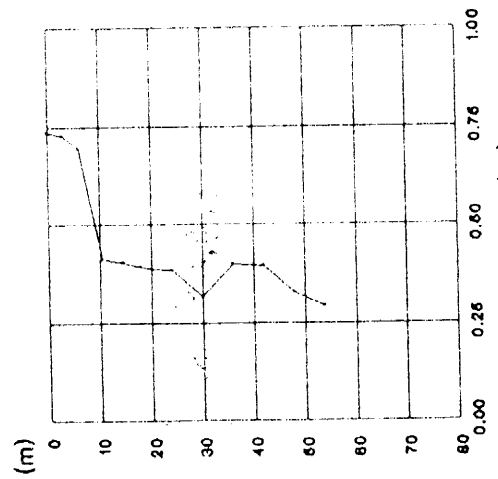
input motion : reverberation NOMARIA'S
component WE 13.9.1988
max. base acceleration = 0.29223*g

Acceleration (g's)
object motion at 64 m depth
input motion : reverberation NOMARIA'S
component WE 13.9.1988
max. base acceleration = 0.28263*g

Strain (-0.001)
object motion at 64 m depth

Depth (m) 0 10 20 30 40 50 60 70 80
Velocity (m/sec) 0 600 1200 1800 2000
Cross-Hole + Design

Velocity (m/sec) 0 600 1200 1800 2000
Cross-Hole + Design



Kalamata's microzonation
profile : Paleologou-Meromisaki
containing accelerations &
strain measurements

Kalamata's microzonation profile : Paleologou-Meromisaki

Depth (m) 0 10 20 30 40 50 60 70 80
Acceleration (g's)

maximum strains AREAS
Kalamata's microzonation
profile : Paleologou-Meromisaki

containing accelerations &
strain measurements

object motion at 64 m depth

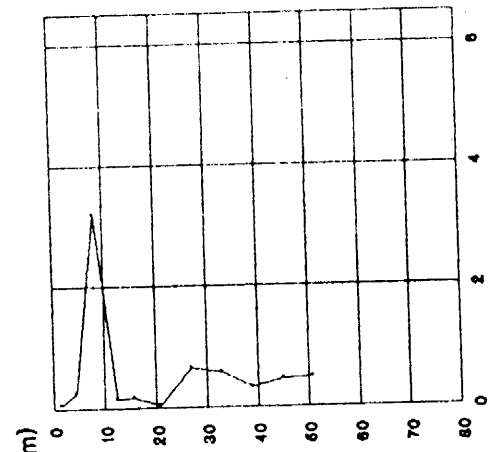
Acceleration (g's)

cross-hole + design

max. strain YSS 325

input motion : reverberation NOMARIA'S
component WE 13.9.1988

max. base acceleration = 0.28263*g



Strain (-0.001)
object motion at 64 m depth

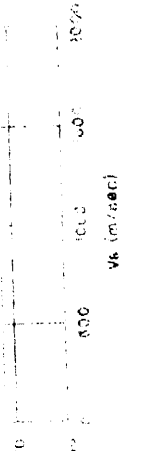
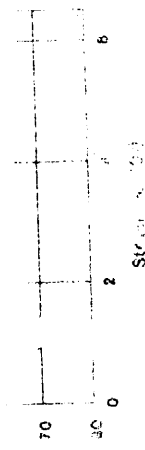
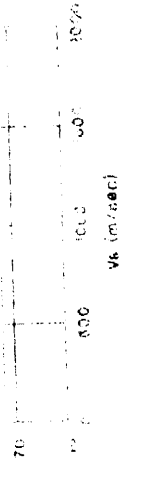
Velocity (m/sec) 0 600 1200 1800 2000
Cross-Hole + Design

Velocity (m/sec) 0 600 1200 1800 2000
Cross-Hole + Design

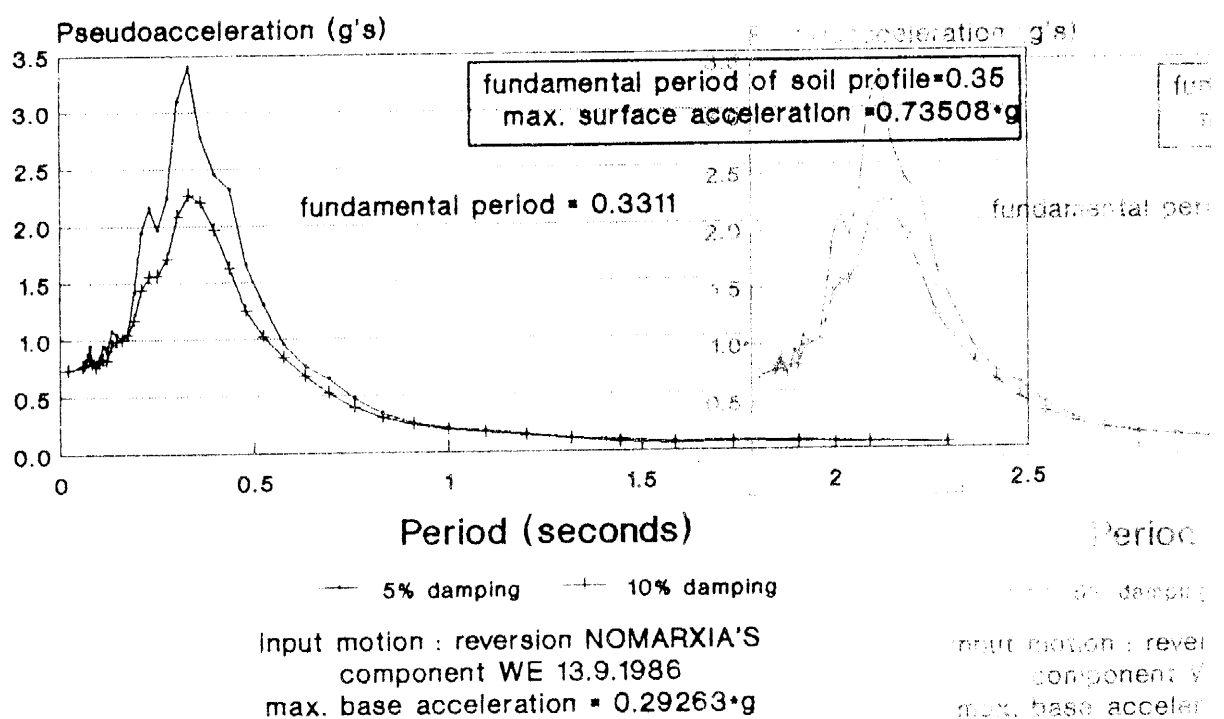


Velocity (m/sec) 0 600 1200 1800 2000
Cross-Hole + Design

Velocity (m/sec) 0 600 1200 1800 2000
Cross-Hole + Design



spectra accelerations
Kalamata's microzonation
profile :Palaiologou-Mauromixali



Σx. 8α

Σx. 8β

soil velocities

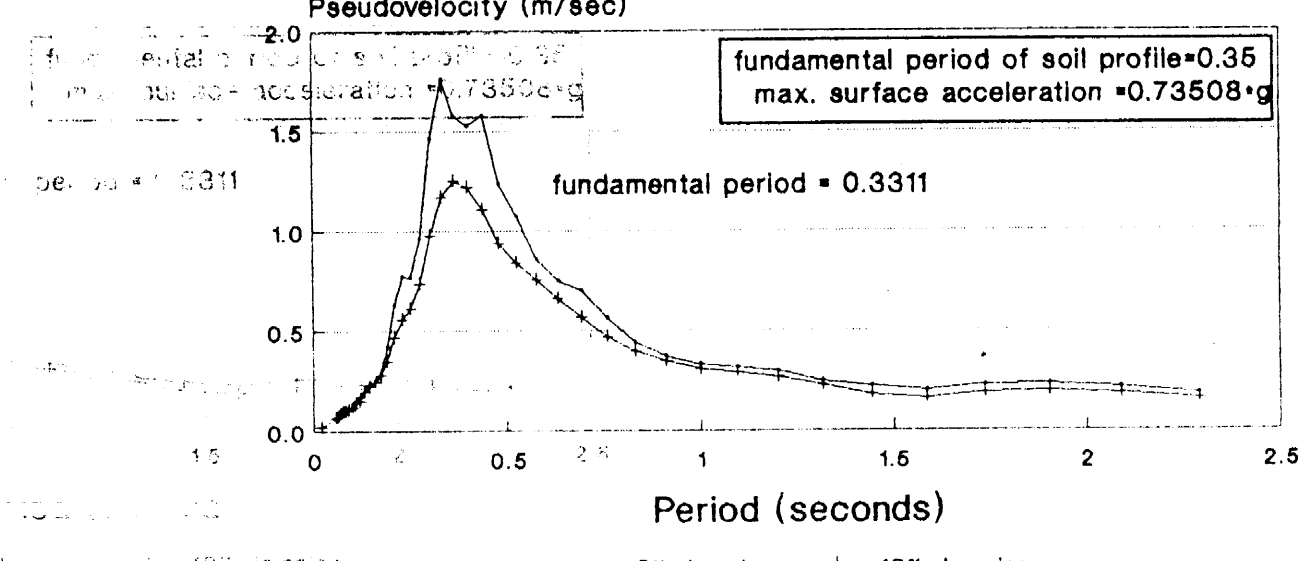
vel's input motion
reversion NOVARKIA'S

spectra velocities

Kalamata's microzonation
profile :Palalogou-Mauromixali

Pseudovelocity (m/sec)

fundamental period = 0.35
max. surface acceleration = 0.73508*g



input motion : reversion NOVARKIA'S

component WE 13.9.1986

max. base acceleration = 0.29263*g

input motion : reversion NOVARKIA'S
component WE 13.9.1986
max. base acceleration = 0.29263*g

$\sum x \cdot 8\beta$

$$\sum x = 9\alpha, \beta, \gamma$$

input motion : reversal NOMARXIA'S
component WE 13.9.1986
max. base acceleration = 0.28263·g

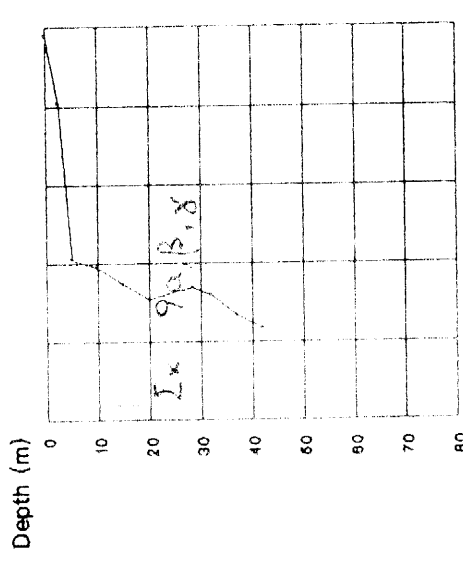
depth to bedrock 42 m

object motion at 42 m depth

Strain (-0.001)

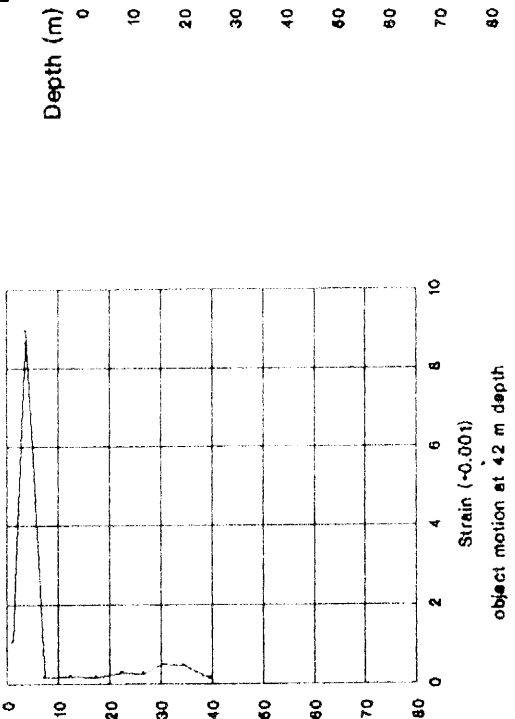
Acceleration (g's)

0.00 0.26 0.50 0.76 1.00 1.26



Kalamata's microzonation
profile : Strapodo (Cross-Hole)

maximum accelerations
Kalamata's microzonation
profile : Strapodo (Cross-Hole)



input motion : reversal NOMARXIA'S
component WE 13.9.1986
max. base acceleration = 0.28263·g

input motion : reversal NOMARXIA'S
component WE 13.9.1986
max. base acceleration = 0.28263·g

Cross-Hole Design

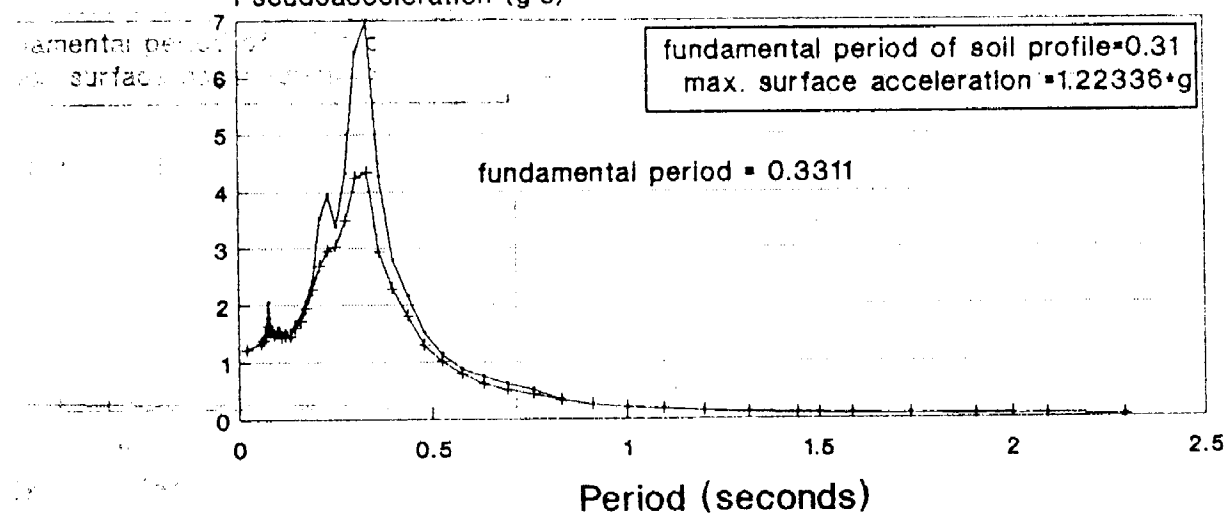
input motion : reversal NOMARXIA'S
component WE 13.9.1986
max. base acceleration = 0.28263·g

input motion : reversal NOMARXIA'S
component WE 13.9.1986
max. base acceleration = 0.28263·g

acceleration
microzonation
Stratopedo

spectra accelerations
Kalamata's microzonation
profile :Stratopedo

Pseudoacceleration (g's)



input motion : reversion NOMARXIA'S

date : 13.9.1986

max. base acceleration = 0.29263*g

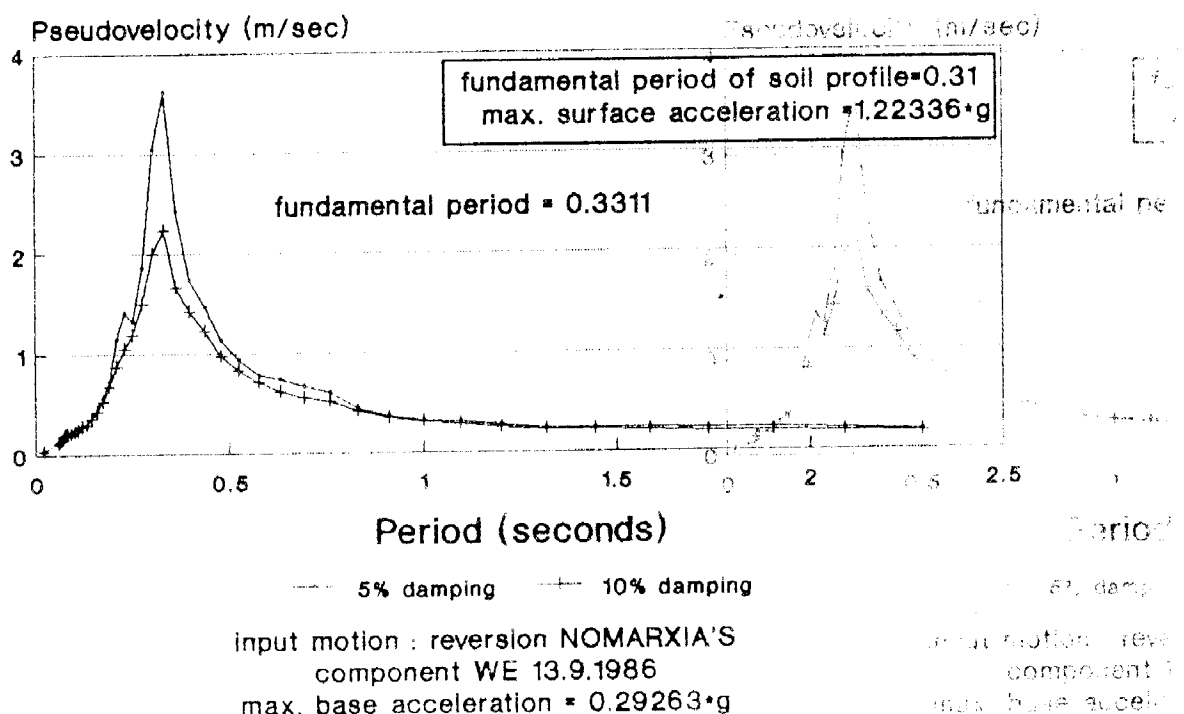
input motion : reversion NOMARXIA'S

component WE 13.9.1986

max. base acceleration = 0.29263*g

$$\sum x, 10\alpha$$

spectra velocities
 Kalamata's microzonation
 profile :Stratopeda



$\Sigma \times 10^3$

$\Sigma \times 10^3$

$$\sum x \cdot \left(\alpha, \beta, \gamma \right)$$

input motion : reverberation NOMARXIA'S
component WE 13.9.1986
max. base acceleration = 0.29263·g

input motion : reverberation NOMARXIA'S
component WE 13.9.1986
max. base acceleration = 0.29263·g

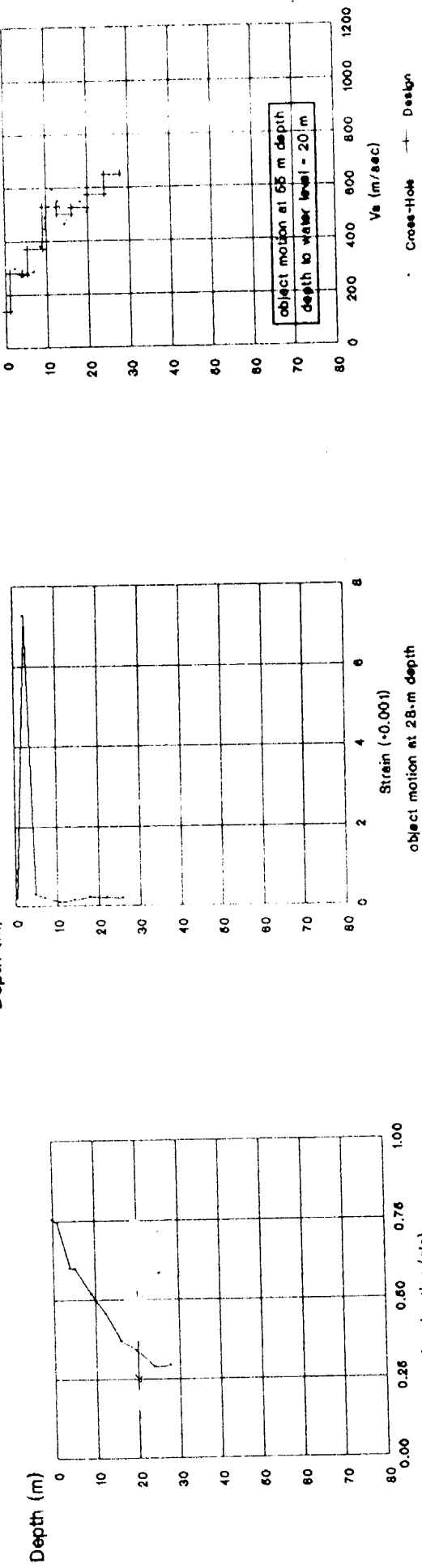
input motion : reverberation NOMARXIA'S
component WE 13.9.1986
max. base acceleration = 0.29263·g



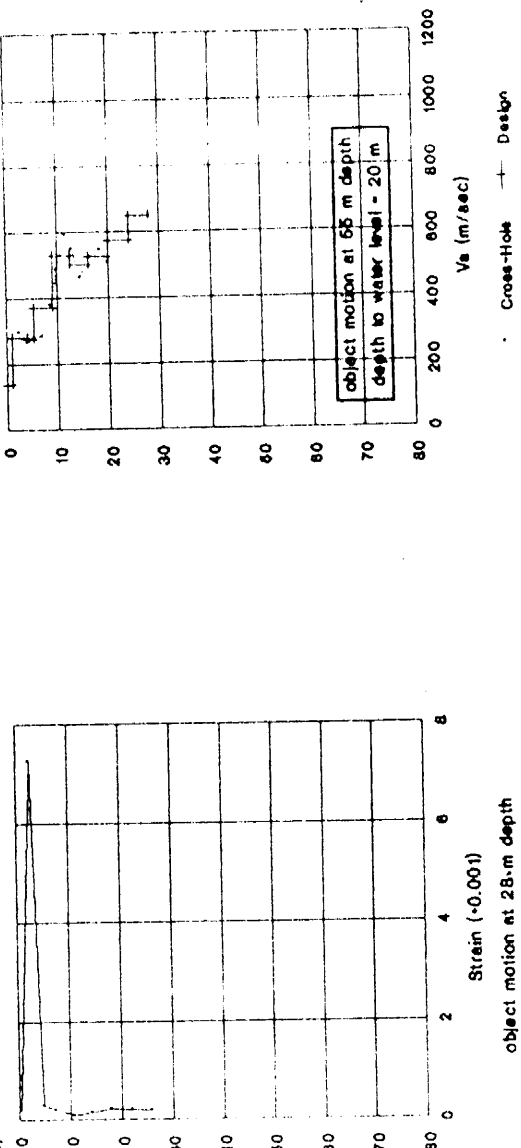
maximum strain
object motion at 66 m depth
at 28 m depth
Acceleration (g's)
strain (•0.001)



maximum strain
object motion at 28 m depth
at 28 m depth
Acceleration (g's)
strain (•0.001)

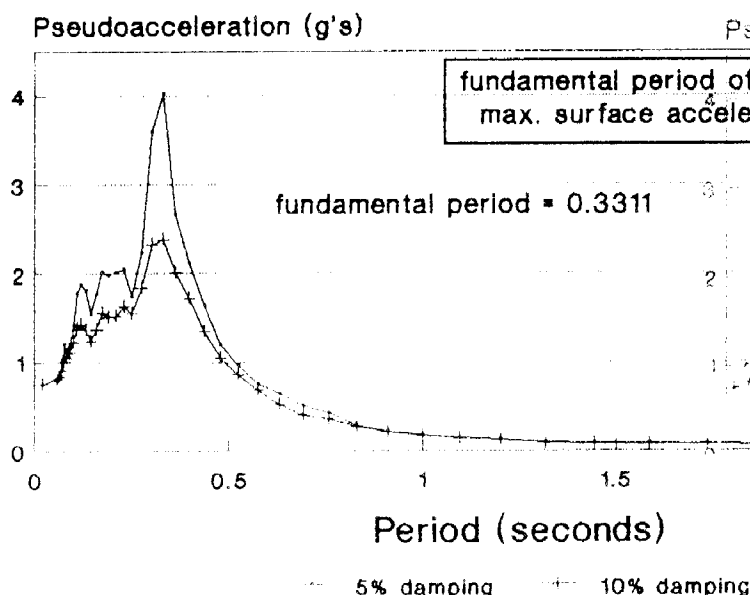


maximum acceleration
object motion at 66 m depth
at 28 m depth
Acceleration (g's)

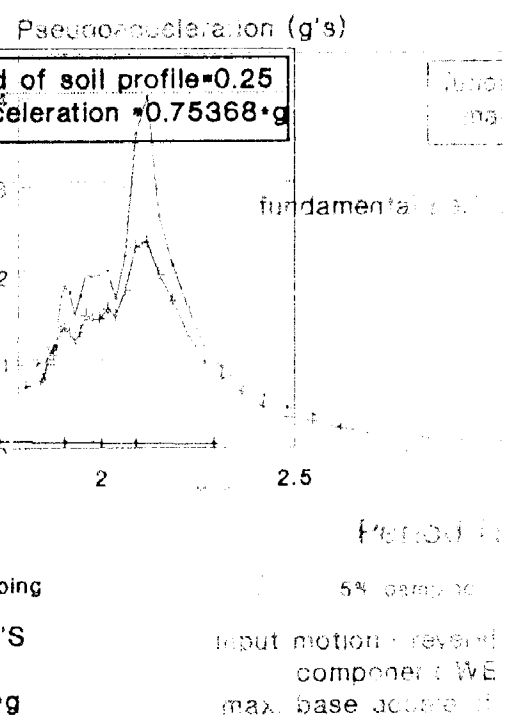


maximum acceleration
object motion at 28 m depth
at 28 m depth
Acceleration (g's)

spectra accelerations
Kalamata's microzonation
profile : Ypapanti



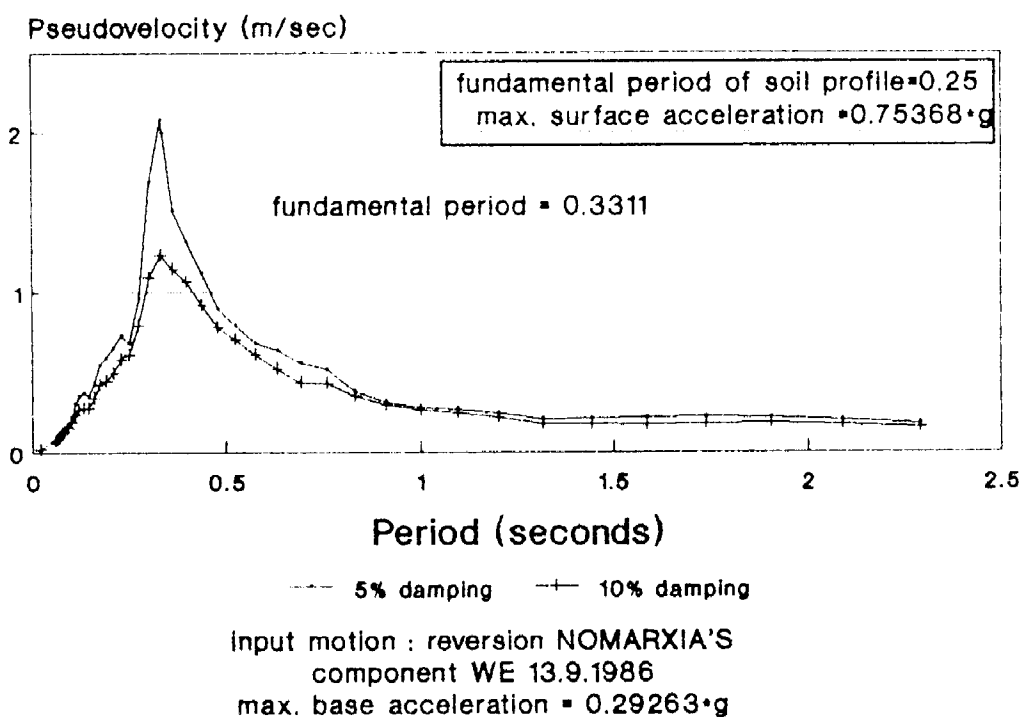
spectra ac
Kalamata's " "
profile "



$\Sigma x. 12\alpha$

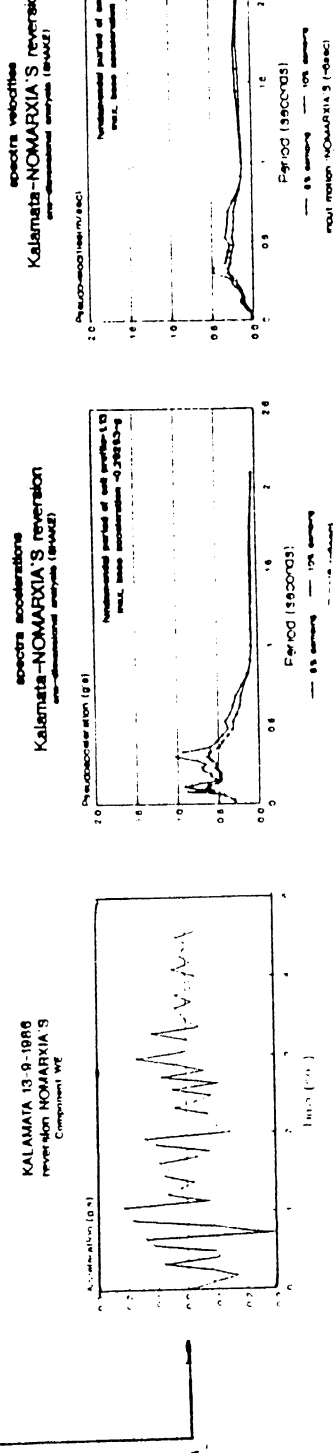
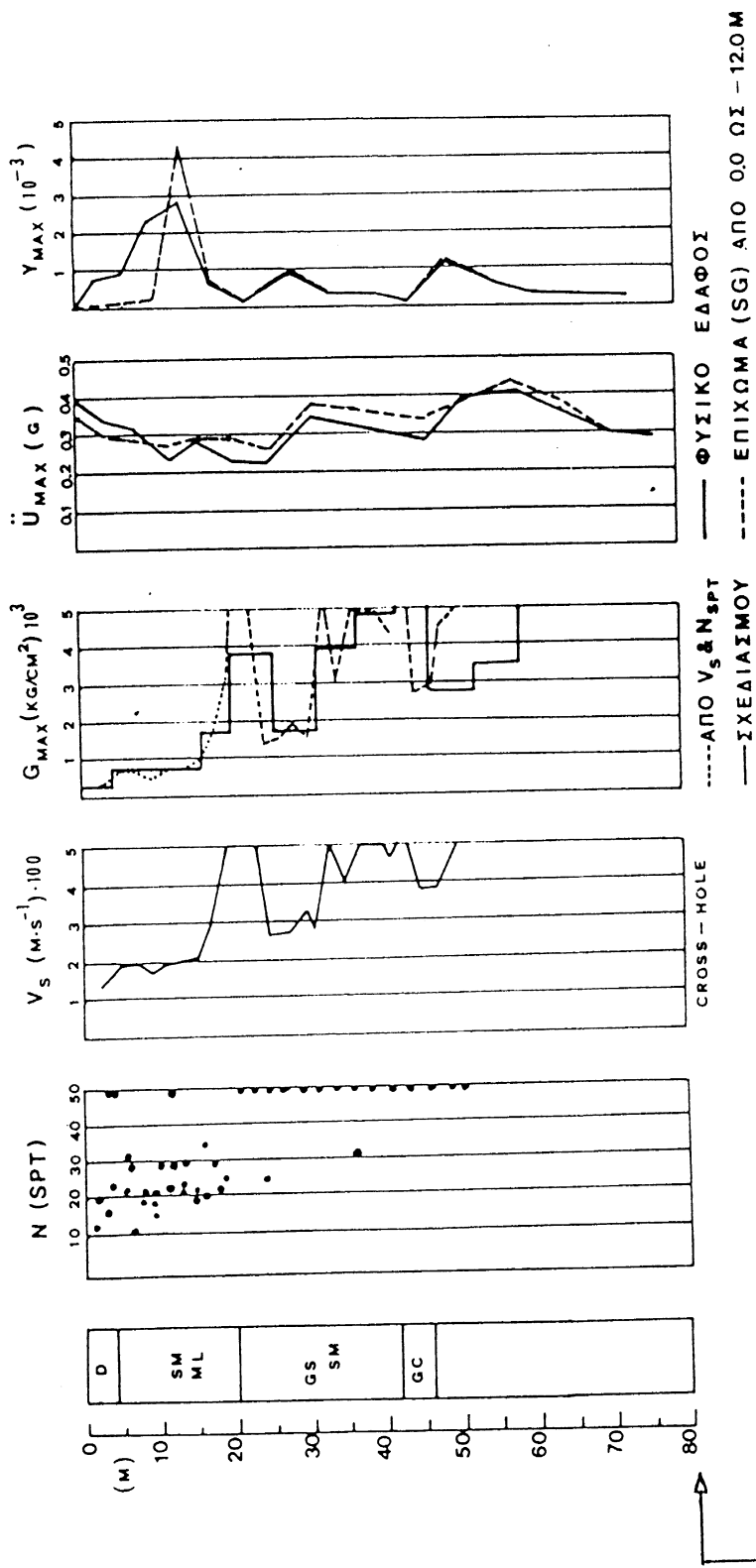
$\Sigma x. 12\alpha$

spectra velocities
Kalamata's microzonation
profile : Ypapanti



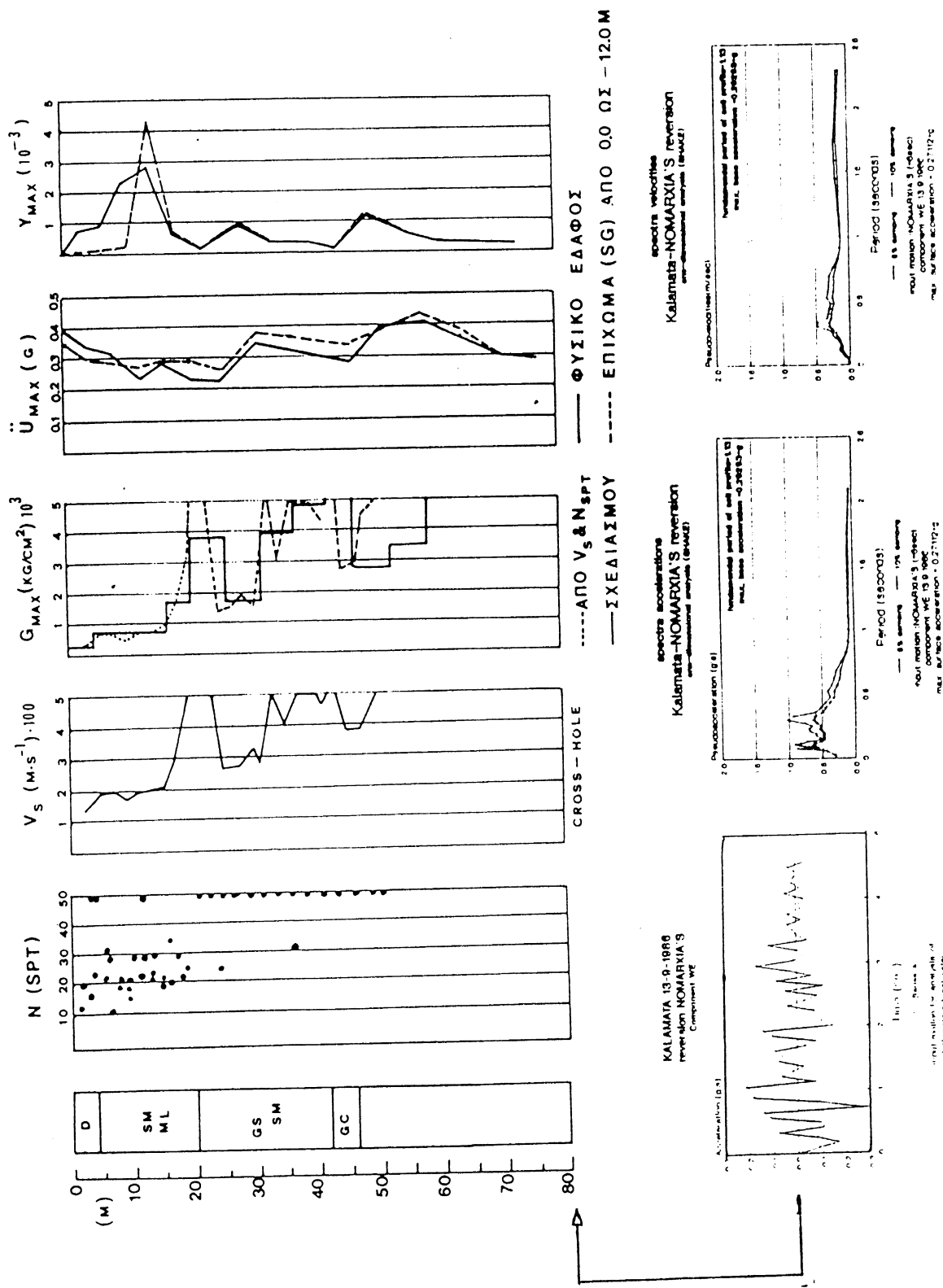
$$\sum x_i 12 \beta$$

ΠΑΡΑΛΙΑΚΗ ΖΩΝΗ ΑΝΑΤΟΛΙΚΗΣ ΚΑΛΑΜΑΤΑΣ (ΝΑΥΑΠΙΝΟΥ ΚΑΙ ΗΡΩΩΝ)

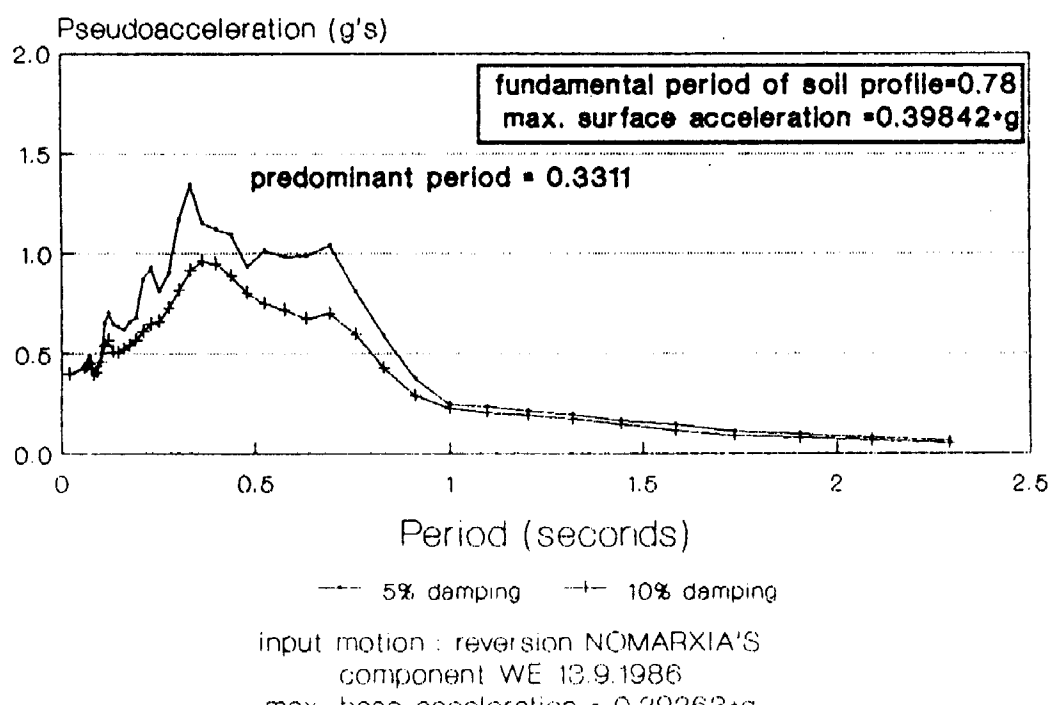


Σ. x. 13α

ΠΑΡΑΛΙΑΚΗ ΖΩΝΗ ΑΝΑΤΟΛΙΚΗΣ ΚΑΔΑΜΑΤΑΣ (NAYAPINOY KAI ΗΡΩΩΝ)



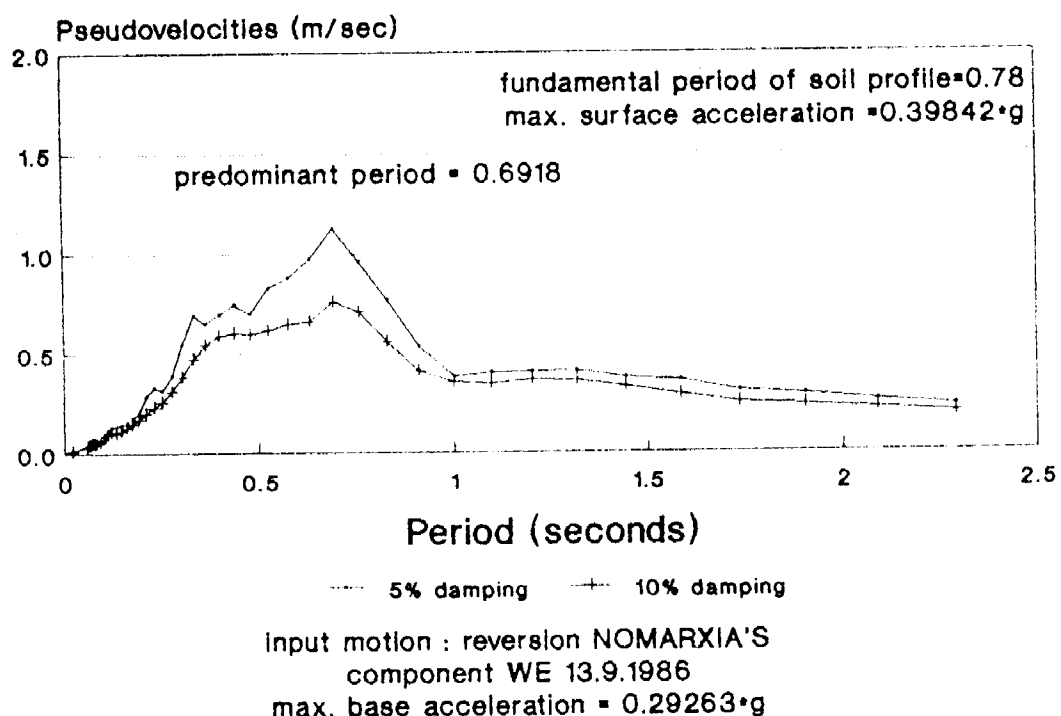
spectra accelerations
Kalamata's microzonation
profile : breakwater (natural soil)



$\Sigma x. 13 \beta$

~7

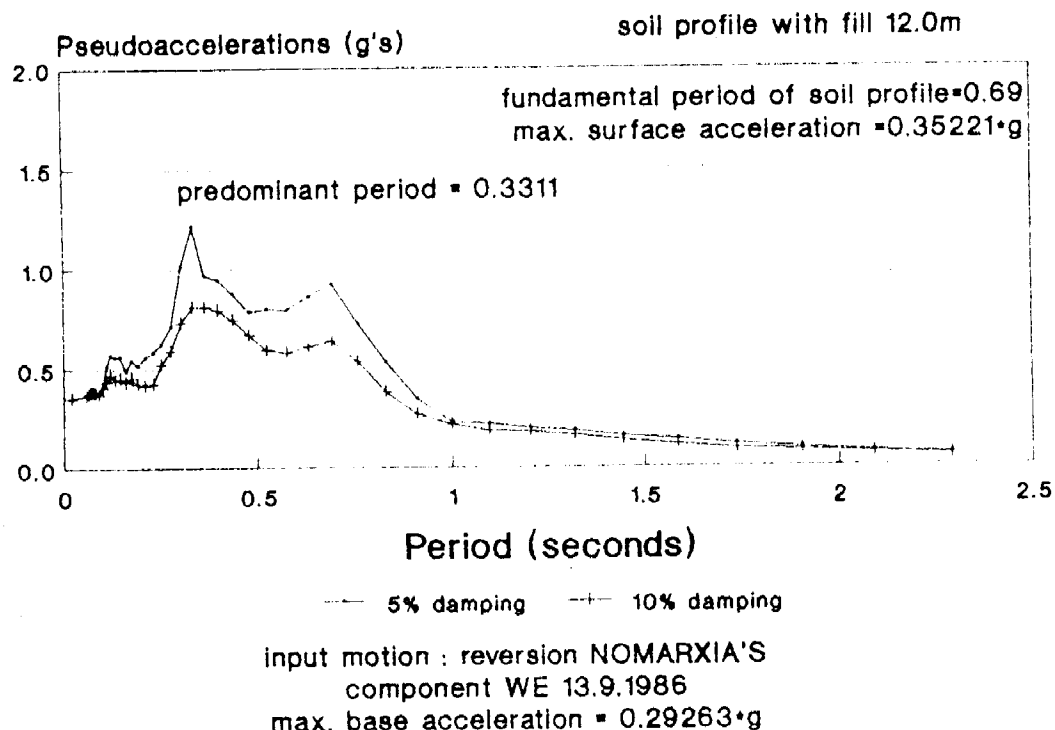
spectra velocities
Kalamata's microzonation
profile : breakwater (natural soil)



$\Sigma x. 13 \gamma$

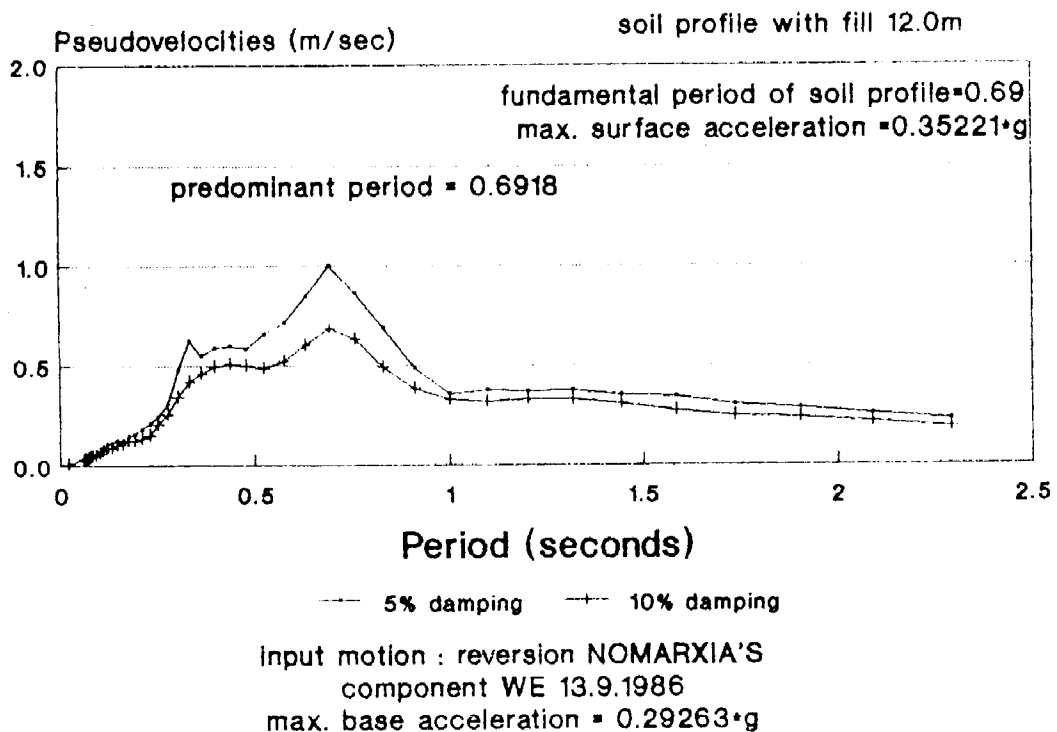
2

spectra accelerations Kalamata's microzonation profile : breakwater (with backfill)



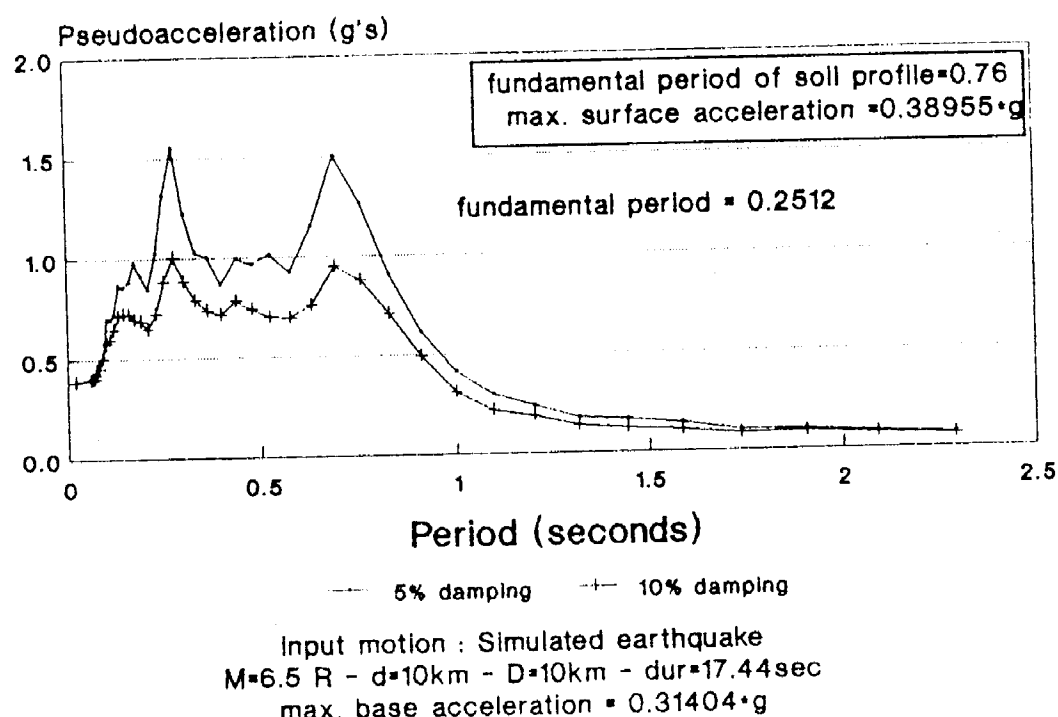
Σχ. 135

spectra velocities
Kalamata's microzonation
profile : breakwater (with backfill)



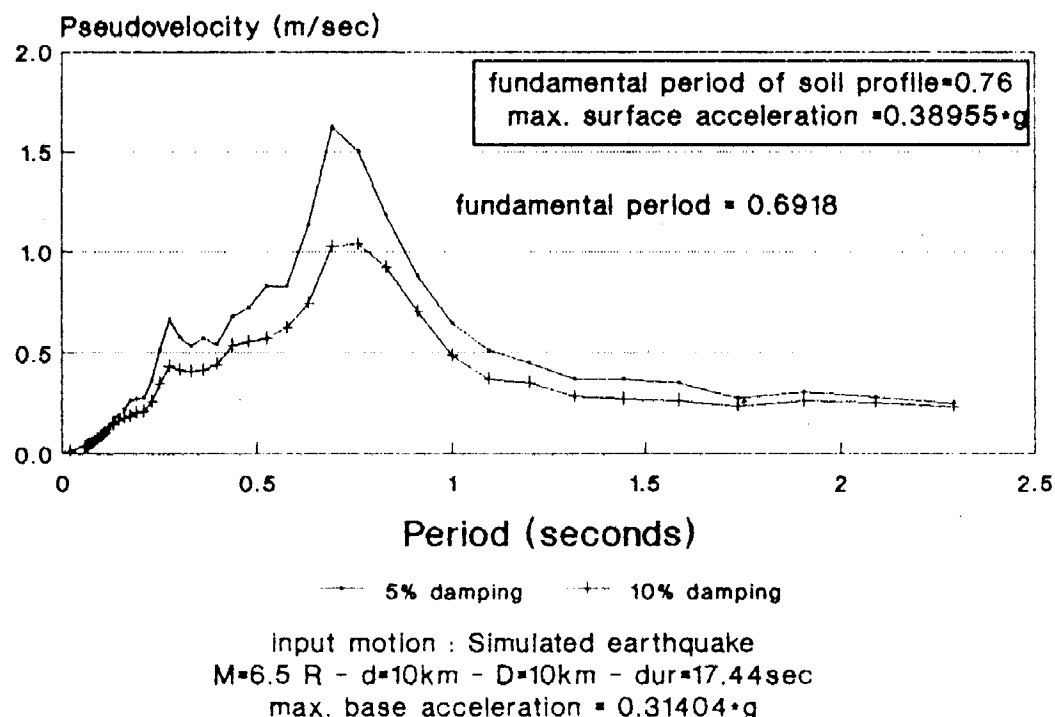
$\sum x_i = 13 \Sigma$

spectra accelerations
Kalamata's microzonation
profile : Limenarxio



$\Sigma x.$ 14 a

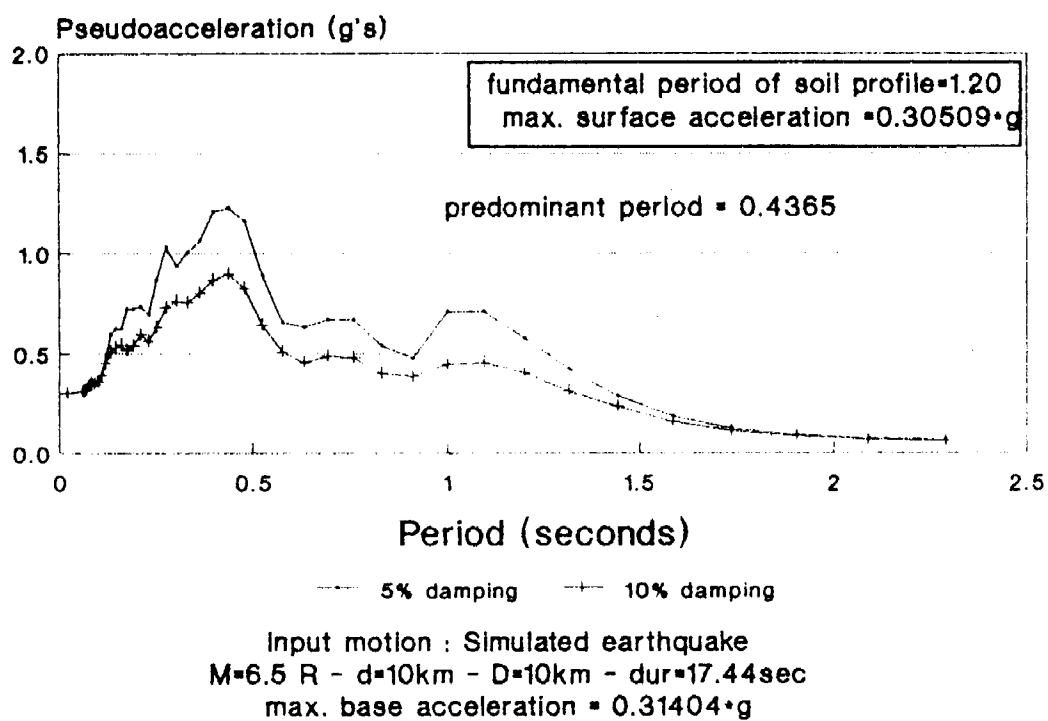
spectra velocities
Kalamata's microzonation
 profile : Limenarxlo



$\Sigma x. 14\beta$

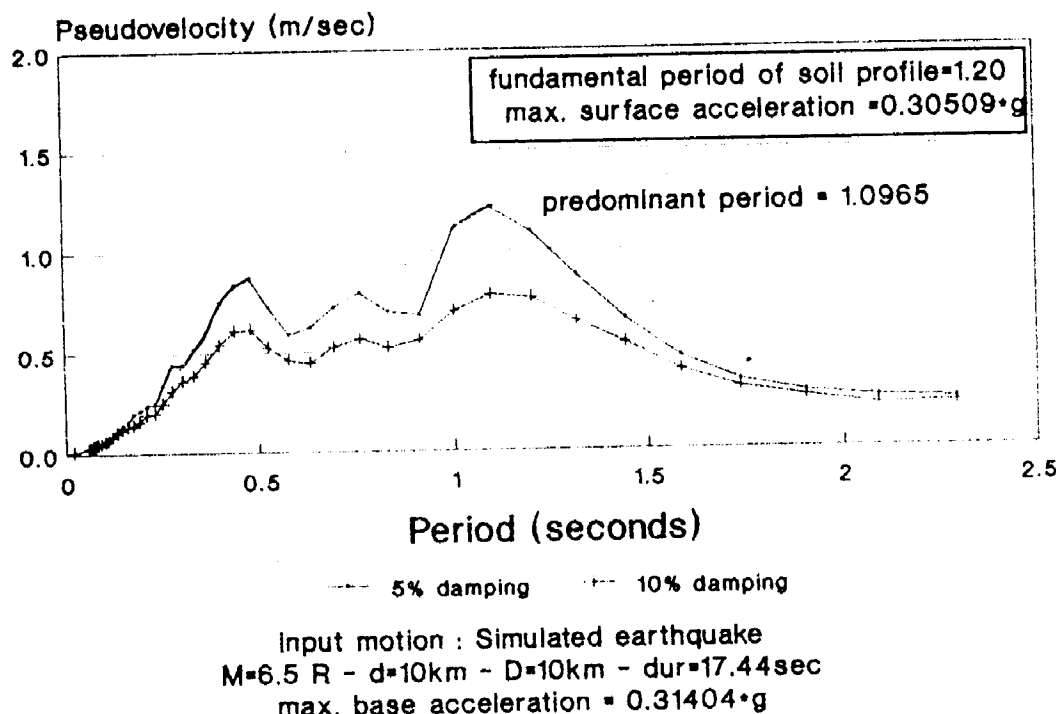
21

spectra accelerations
Kalamata's microzonation
profile : Nomarxia

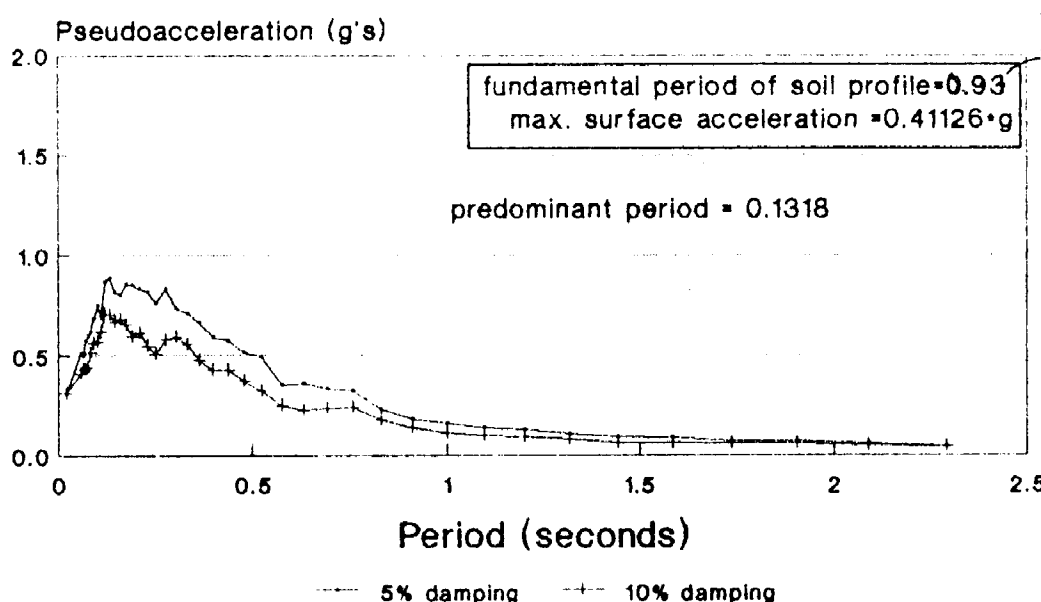


Σx. 15α

spectra velocities
Kalamata's microzonation
 profile : Nomarxia

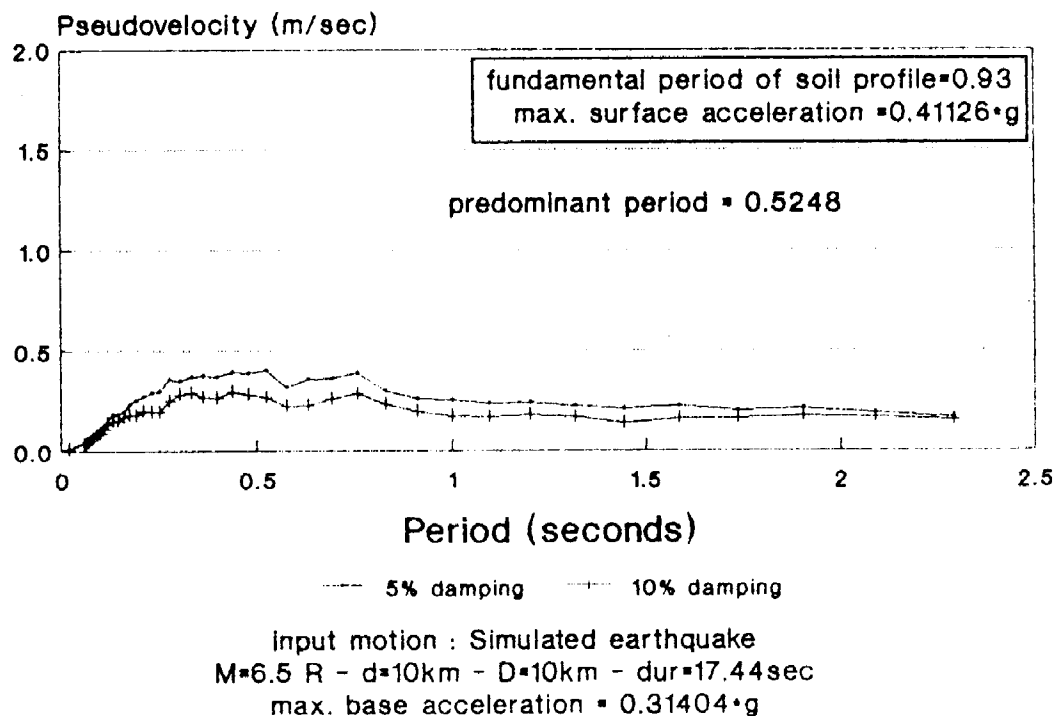


spectra accelerations
Kalamata's microzonation
profile : Nomarxia ($U_s = 550$ m/sec)

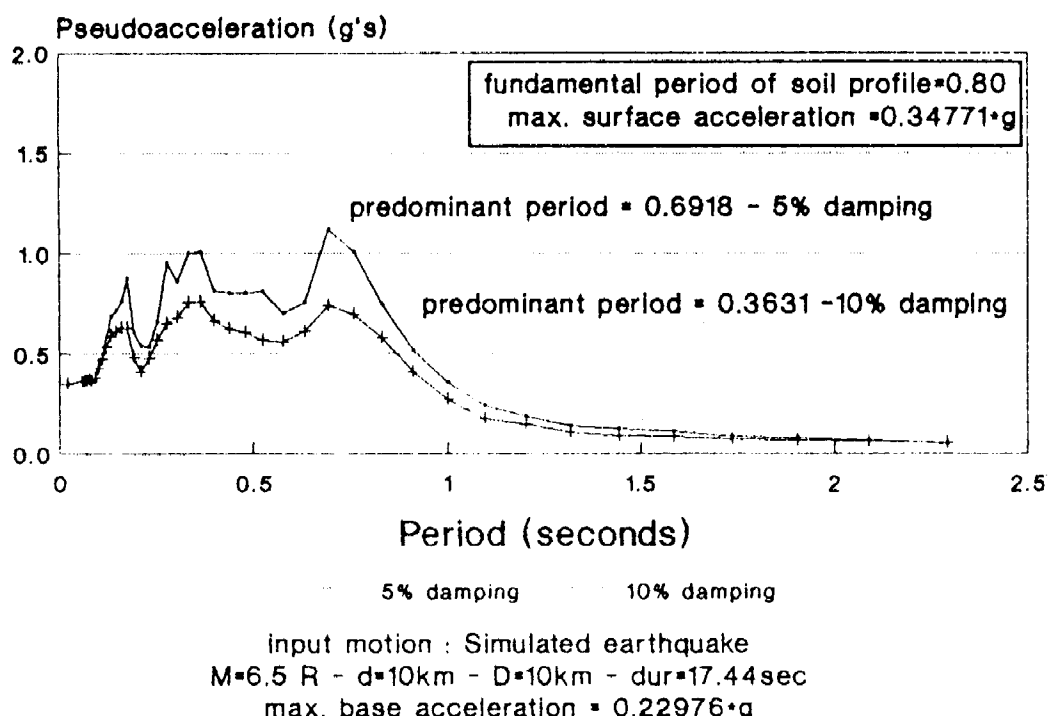


Input motion : Simulated earthquake
 $M=6.5$ R - d=10km - D=10km - dur=17.44sec
 max. base acceleration = $0.31404 \cdot g$

spectra velocities
Kalamata's microzonation
profile : Nomarxia ($U_s = 550$ m/sec)



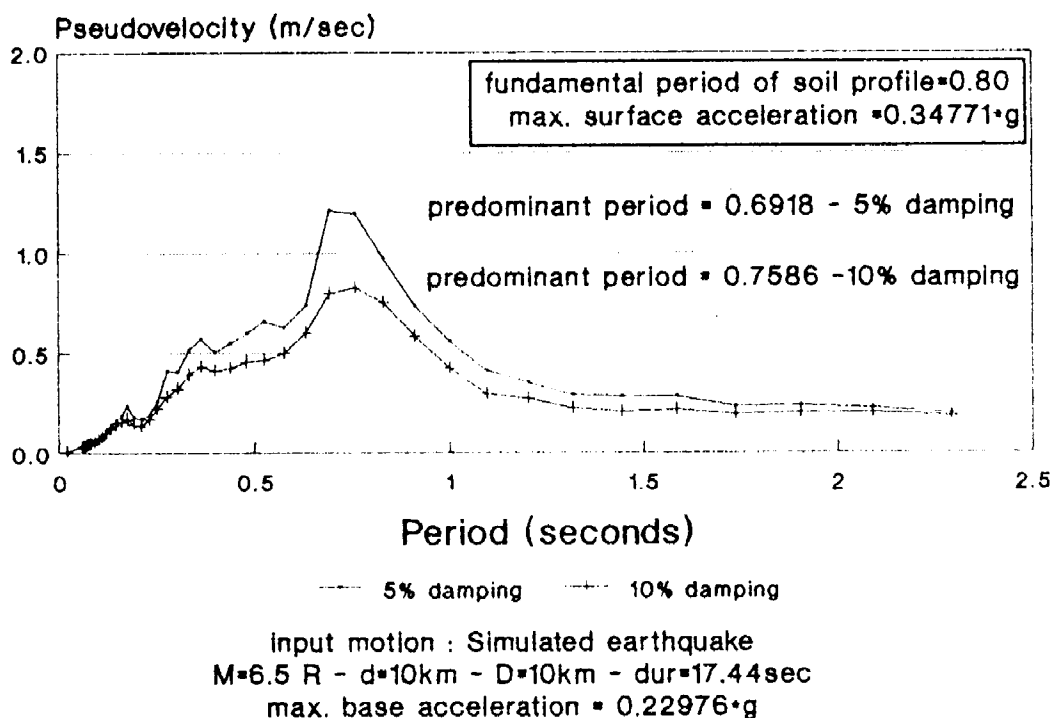
spectra accelerations
Kalamata's microzonation
 profile : Nomarxia (Rock base at 45.5 m)



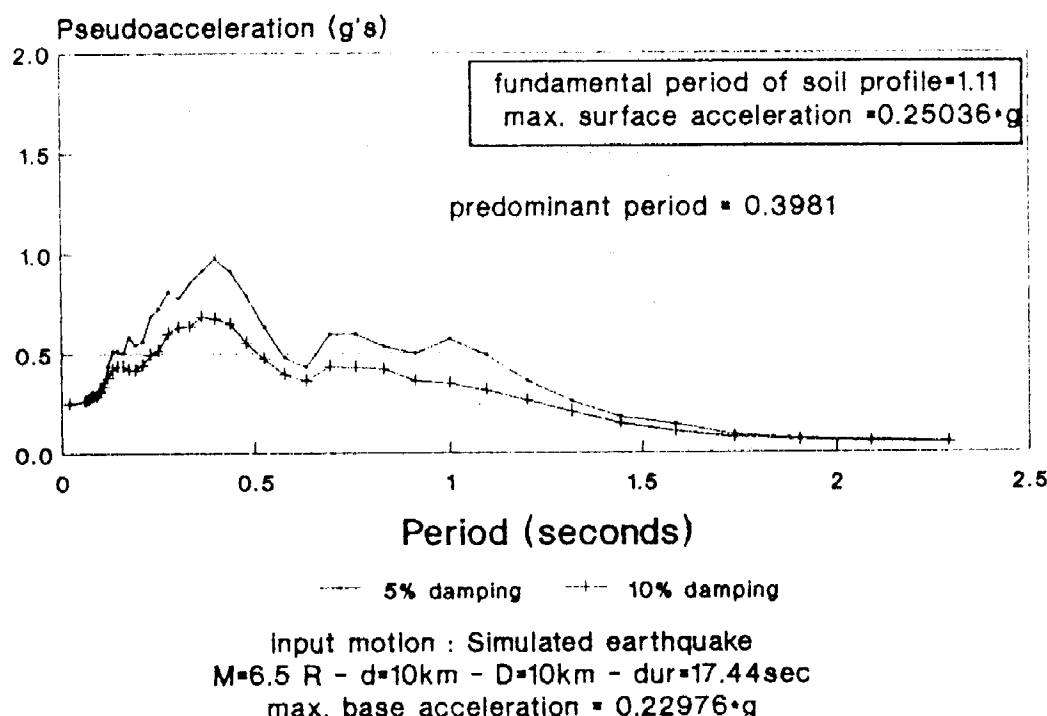
spectra velocities

Kalamata's microzonation

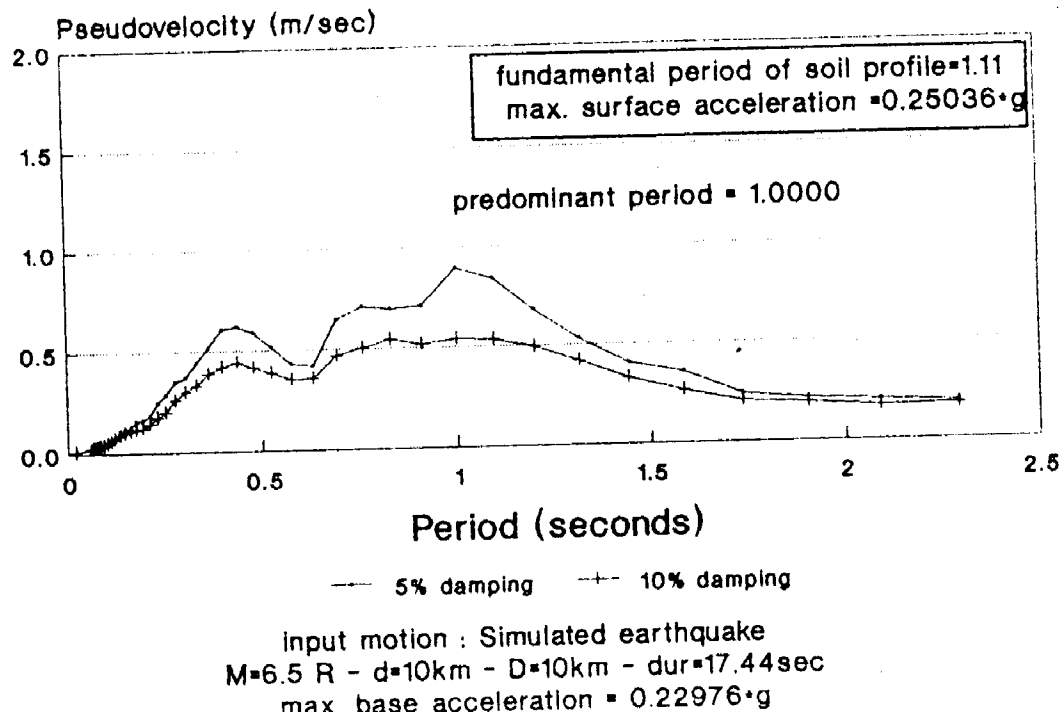
profile : Nomarxia (Rock base at 45.5 m)



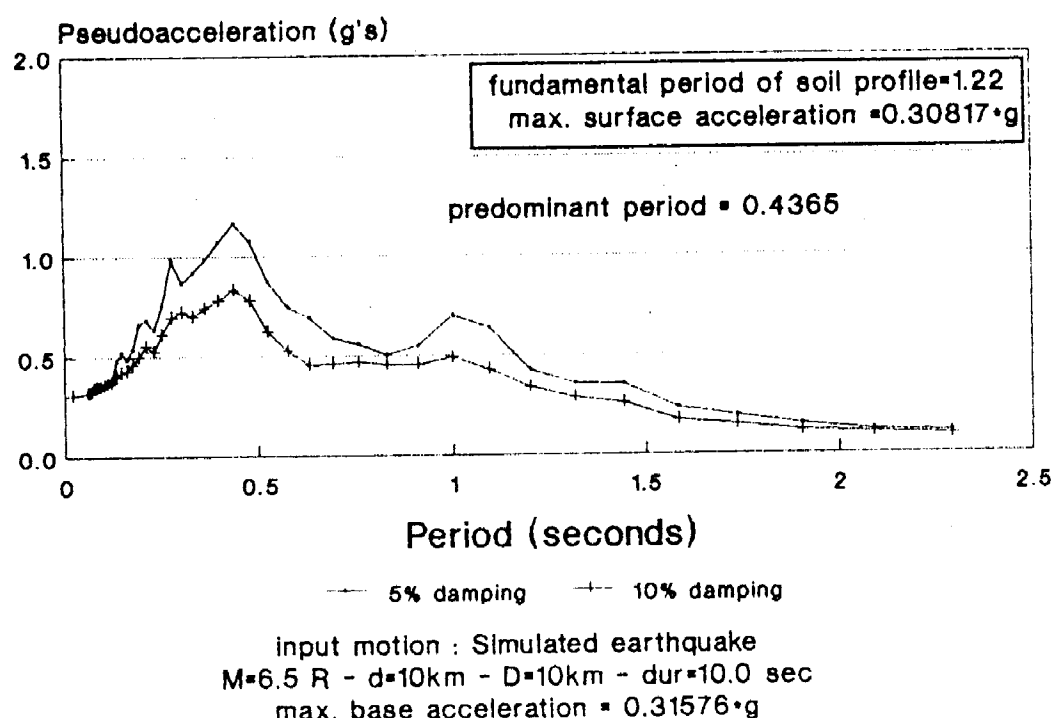
spectra accelerations
Kalamata's microzonation
profile : Nomarxia



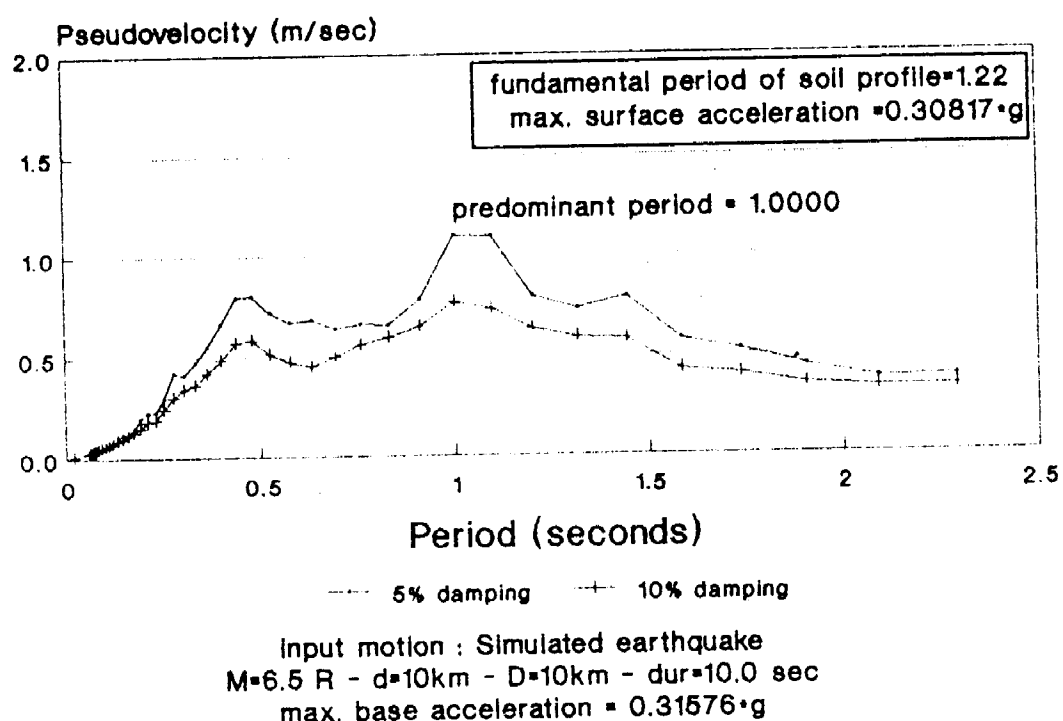
spectra velocities
Kalamata's microzonation
profile : Nomarxia



spectra accelerations
Kalamata's microzonation
profile : Nomarxia



spectra velocities
Kalamata's microzonation
 profile : Nomarxia



$\Sigma x. 15 \kappa$

